

日本大学理工学部 正員 近藤 効  
" " 粟津 清蔵

1. はじめに off-shore の利用が最近盛んになって来ている。これに対して、調査や作業等を行なうに当つて、構造物を設置する場合水に対する波力はもちろん考えなくてはいけないが、一方、海底面にかける支持杭等のまわりの波動による局所的洗掘も無視する訳にはいられない場合もある。また、波力より洗掘の方を多く考えるべきではない場合も出で来るだろう。これらに対して、底質の移動に関する研究は見受けられるが、底面にかける波動による往復運動による構造物周辺の洗掘を取り扱っている例はあまりないと思われる。

そこで一例として円柱について、そのまわりの洗掘現象を実験的に解明しようと思うのであるが、第一段階として、洗掘に大きな影響を与えるであろうと思われる底面に沿う底流速について固定床実験を行はつた。

2. 底流速の重要性について 洗掘現象は円柱周辺の波の底面付近の運動の強弱によって発生したり、しながらなりする。これを明らかにするために底質と流体運動との関連性を明らかにすることが重要であり次のようになる。<sup>1)</sup> 円柱のまわりの流体運動は非常に複雑であるから、そこでの掃流力の評価は困難である。特にそこでの流速分布は不規則であるので掃流力の評価もな一方一層困難になつてくるので底面に沿う底流速に注目する。底流速といつても、波によるものであるから一定度でも時間的に変化するが、代表流速としてある平均的な流速をもつてこれに当てる。このような方法を用いて佐藤等<sup>2)</sup> は底質の移動について良い結果を得ている。何故ならば移動床面上での流速が考へている底質の限界流速よりも大きくなつた場合、その底質が移動（洗掘）するからである。円柱周辺以外では掃流力が限界掃流力よりも小さい場合について考へよう。ある波に円柱を設置したために、その周辺での底流速がどう変化するかということに注目する。底面付近の流体運動は移動床の形状により左右されるが、問題を単純にするために平面移動床を考へて、さらにそれを固定床に置き換えて円柱設置に伴う流体運動の変化を調べて円柱のまわりの流体運動の様子を推論する。すなわち、円柱設置以前の状態の水理量をもつた波動中に円柱を設置した場合の底流速を調べ、両方の水理量の関連性から円柱を設置したことによる流体運動の変化を知ることが出来る。しかし、

これは固定床実験によつたものであるから移動床への対応は検討されねばならない。洗掘が起らぬ場合の対応は可能であろう。したがつて、限界状態（洗掘が起らぬ場合の境界の状態）までを対象として底質と流体運動との関連性を固定床実験の援助によって「どんな底質でどんな波動にどんな円柱を設置したら洗掘が生じるか」という限界状態の解析の可能性が推定される。ここで底流速だけに注目してまだが波のように有限な水面こう配をもつじかも非定常流に上述したような考え方方が適用出来るかどうかについては以下のようである。石原・榎木<sup>3)</sup> および Donald<sup>4)</sup>によると、波動の比較的広い範囲にわたつて、また波高に比べて砂粒が小さい底質の移動限界について比較的浅い領域まで加速度項を無視出来ることを指摘しているし、野田・井保<sup>5)</sup> は底面付近の運動を層流境界

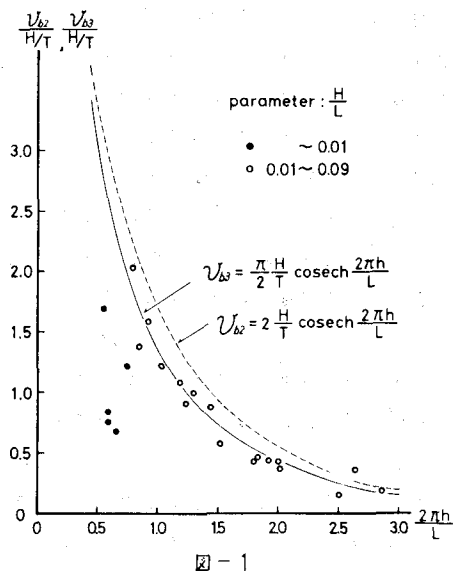


図-1

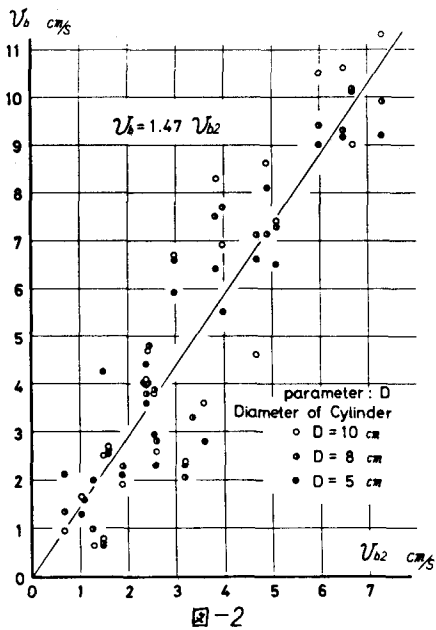


図-2

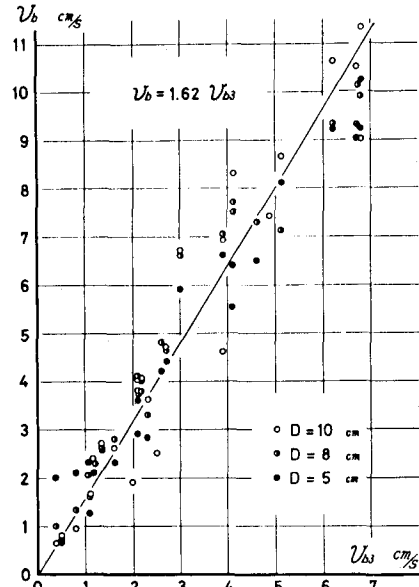


図-3

層とはしていゝがそこでは揚力は小さく無視出来るとしている。それゆえ、底流速による解析法を有効な手段の一つと考へてもよがろう。

**3. 実験装置および方法** 実験は長さ13m、幅37cm、深さ80cm両面ガラス張り水路で、水深25~35cm、T=0.7~2.1sec、H=1~9cmで行はる。円柱は木製で径10, 8, 5cmのものを用いた。底流速の測定は床面のアクリル板に1cmのズ目を付け、トレーサーとしては径3.6mm

、比重1.05のABS球を用ひ、16mmシネカメラ(24コマ/秒)で収録し解析した。円柱設置後の底流速としては図-4のA点にトレーサーを置き、それにより求めた。

**4. 実験結果および考察** 円柱設置以前の底流速の平均値の実験値 $V_{b1}$ と微小振幅波理論による半周期平均 $V_{b2}$ および流速を時間に対して直線分布するとしてその平均 $V_{b3}$ を図-1に示す。これより $V_{b3}$ を用いた佐藤等の考へ方は妥当と言えよう。 $V_{b3}$ 曲線から離れていく3.5点は $H/L < 0.01$ のもので水路が短いためであろう。

図-2、3は円柱設置後のA点のトレーサーの平均底流速 $V_b$ に対するもので、図-3の方が良い相関を示し移動床での移動限界にかけDonald<sup>4)</sup>の $V_b/V_{b1} = 1.69$ とほぼ等しいことは興味深い、円柱径5cmのものは他に比べてやや小さい( $=1.56$ )が径による変化は明瞭でない。これは同様な解析方法による泥流での結果<sup>6)</sup>よりも大きめである。また、円柱周辺の $V_b$ の分布状態はプロペラ流速計を用い、それを波の進行方向に向けて測定したのも一例として図-4にあげる。(文献) 1)栗津、第23回年譲、2)佐藤、岸上研報告(S.27年) 3)石原・木村、第24回年譲、4) Donald R. Wells, 12th Coastal Eng'g, 5)野田・井保、第11回年譲、6)栗津、第25回年譲。

